

بررسی ایمونوآنفورماتیکی پروتئین تروپومیوزین کنه بوفیلوس

محمد مهدی رنجبر^۱ صدیقه نبیان^{۲*} محمد طاهری^۳ غلامرضا نیکبخت^۴ علی نیک پی^۵^۱ دانش آموخته ایمنی شناسی، دانشکده دامپزشکی دانشگاه تهران، تهران-ایران^۲ گروه انگل شناسی، دانشکده دامپزشکی دانشگاه تهران و مرکز کنه شناسی و بیماریهای منتقل شونده توسط آن، تهران-ایران^۳ آزمایشگاه مرکزی دکتر رستگار دانشکده دامپزشکی دانشگاه تهران، تهران-ایران^۴ گروه میکرو بیولوژی، دانشکده دامپزشکی دانشگاه تهران، تهران-ایران^۵ گروه انگل شناسی، دانشکده دامپزشکی دانشگاه تخصصی فن آوری های نوین آمل، آمل-ایران

(دریافت مقاله: ۵ شهریورماه ۱۳۹۳، پذیرش نهایی: ۱۲ آبان ماه ۱۳۹۳)

چکیده

زمینه مطالعه: کنه بوفیلوس سبب انتقال برخی از اجرام پاتوژن و کاهش تولید در گاو می شود. پروتئین تروپومیوزین، تنظیم گر فعالیت اکتین بوده و نقش مهمی در واکنش های ایمنی، آلرژی و تهیه واکسن دارد. **هدف:** روش های مرسوم شناسایی دقیق شاخص های آنتی ژنتیک (اپی توپ ها)، طاقت فرسا، زمان بروپرهزینه است، لذا توجه ما در این مطالعه به سمت توسعه روش های سریع تر نظیر پیشگویی اپی توپ های احتمالی مورد شناسایی سلول B و TCD4+، مبتنی بر توالی و ساختار پروتئین می باشد. **روش کار:** از گستره وسیعی از برنامه ها و ابزارهای ایمونوآنفورماتیک جهت آنالیز آنتی ژنسیستی، فراوانی ساختار ثانویه پروتئین و دومن ها، فاکتورهای فیزیکی شیمیایی مرتبط با مکان اپی توپ های خطی، اپی توپ های سلول B، قطعات پپتیدی متصل شونده به آلل های MHC کلاس ۲ گاو استفاده گردید. **نتایج:** آنالیز پروتئین با الگوریتم های مختلف و انتخاب اپی توپ های مورد توافق در بیشتر ابزارها منجر به به دست آمدن سه پپتید برگزیده با خاصیت اپی توپی برای سلول B AA₆₂₋₈₀(NH₂-EQLSQANSKLEEKDKALQA-COOH) و AA₁₇₀₋₁₈₅(NH₂-AMVEADLERAEERAETG-COOH) و AA₂₀₀₋₂₁₈(NH₂-VGNLKSLEVSEEKALQKEET-COOH) و یک پپتید برای سلول T AA₁₉₂₋₂₀₇(NH₂-LEEELRVVGNLKSLE-COOH) گردید. **نتیجه گیری نهایی:** جهت تحریک رضایت بخش سیستم ایمنی تنها قطعاتی از پروتئین (اپی توپ ها) کافی می باشد. انتخاب اپی توپ های بهینه سبب تمرکز پاسخ ایمنی و تهیه واکسن مناسب شده و از پاسخ های آلرژیک و نامطلوب می کاهد.

واژه های کلیدی: کنه بوفیلوس، اپی توپ ها، ایمونوآنفورماتیک، پروتئین تروپومیوزین

توپ ها) جهت ساخت پپتیدهای مصنوعی به عنوان واکسن های بالقوه، نیاز به به دست آوردن پروتئین مورد نظر از ارگانیزم، شناخت قطعات پپتیدی مشتق از آن و در نهایت شناسایی فعالیت ایمنی زایی آنها می باشد. این چنین مطالعاتی، طاقت فرسا، زمان بر و گران بوده، لذا تلاش و توجه محققین به سمت توسعه روش های سریع تر نظیر پیشگویی پپتیدهای ایمونوژن مبتنی بر توالی آمینواسید پروتئین مورد بررسی و خصوصیات فیزیکی شیمیایی آن، می باشد (۳۳، ۳۹). با در دست داشتن اطلاعات کافی، دسترسی به تکنولوژی های جدید شناسایی، الگوریتم های طبقه بندی شده و ابزارهای محاسبه ای که مناطقی با آنتی ژنسیستی بالا را در پروتئین پیش بینی می کنند تقریباً با احتمال بالا می توان نواحی ایمونوژنیک برای سلول های B و T را در پروتئین مورد نظر شناسایی کرد (۳۲، ۳۶). سپس همچنین می توان اپی توپ های با ایمونوژنسیستی بالا را جهت ساخت واکسن های پپتیدی، تشخیص بیماریها و درک مبنی مولکولی ایمنیت به کار گرفت. در حال حاضر تعدادی از واکسن های پپتیدی حاصل از اپی توپ ها بر علیه گستره ای از بیماریهای عفونی، سرطان ها و بیماریهای خود ایمن در مرحله آزمون بالینی می باشند (۱۱، ۱۶، ۲۷، ۳۰، ۳۴، ۳۵).

مقدمه

کنه های بوفیلوس، کنه هایی خونخوار اجباری می باشند که می توانند سبب ایجاد خسارات اقتصادی فراوان و انتقال برخی از عوامل بیماریزا از جمله بابز یا و آنپالاسما به دامها گردند (۱). پروتئین تروپومیوزین، متصل شونده و تنظیم گر فعالیت اکتین بوده و برای عمل انقباض عضلات حائز اهمیت است. در بی مهرگان، ایزو فرم های متعددی از تروپومیوزین در بافت های عضلانی و غیر عضلانی یافت می شوند. در برخی موارد ایزو فرم های عضلانی در بافت های غیر عضلانی بیان می شوند. از سوی دیگر این پروتئین، نقش مهمی را در واکنش های ایمنی زایی و آلرژیک به کنه ها و جرب ها بازی می کند. از این رو این پروتئین در بسیاری از گونه های کنه، جرب و سایر انگل ها، انتخاب مناسبی جهت تهیه واکسن می باشد (۱۳، ۶).

امروزه در فرایند تولید واکسن به دلایل بی خطر بودن، آلرژنسیستی و تمرکز پاسخ ایمنی از واکسن های پپتیدی (واکسن های پلی توپی) که قادر به تولید پاسخ ایمنی بر علیه پاتوژن مورد نظر به طور اختصاصی باشند، استفاده می گردد (۲۴، ۳۳).

در این راستا به منظور شناسایی دقیق شاخص های آنتی ژنتیک (اپی



روش (الگوریتم) سنجش Kolaskar-Tongaonkar با استفاده از امکانات پایگاه IEDB (http://tools.immuneepitope.org/main/html/analysis_tools.html) رسم گردید. این الگوریتم ها آن قطعاتی را که درون توالی پروتئین با احتمال زیاد آنتی ژنیک هستند و قادر به تحریک پاسخ ایمنی می باشند بر اساس جدولی از پیش تعریف شده، شناسایی می کنند (۱۷).

پیشگویی ساختار ثانویه پروتئین و دومن ها: ساختار ثانویه پروتئین و دومن ها با استفاده از سرورهای اینترنتی PSIPRED (<http://scratch.proteomics.ics.uci.edu/>) مورد پیشگویی قرار گرفت. درک ساختار پروتئین در ارزیابی اپی توپ و مناطق ایمونوژنیک کمک کننده است.

پیشگویی فاکتورهای فیزیکی شیمیایی مرتبط با مکان اپی توپ های خطی: جدول و منحنی فاکتورهای (پرو فایل های) فیزیکی شیمیایی مرتبط با مکان اپی توپ های خطی با به کارگیری سرورهای BcePred (<http://www.imtech.res.in/cgibin/bcepred/bcepred.pl>)، IEDB، و ExPASy - ProtScale (<http://www.expasy.org>) رسم گردید. فاکتورها مورد نظر شامل؛ هیدروپاتی، دسترسی، انعطاف پذیری، سطح در معرض بودند. در این بررسی پرو فایل هیدروفیلی و هیدروفوبی را به ترتیب بر اساس آگوریتم که وسیله Hopp و Woods در سال ۱۹۸۱ و Keyte و Doolittle در سال ۱۹۸۲ معرفی شده اند، ارزیابی گردید (۱۲، ۱۹).

همچنین دسترسی سطحی نیز با استفاده از الگوریتم Emini (۷) و انعطاف پذیری قسمت های مختلف پروتئین نیز با الگوریتم Karplus و Schulz (۱۴) انجام شد.

پیشگویی اپی توپ های خطی سلول B: جهت پیشگویی دقیق اپی توپ سلول B از سه سرور اینترنتی در دسترس BepiPred (۲۱)، ABCpred (۳۱) و Scratch، جهت پیشگویی اپی توپ های خطی سلول B استفاده شد و جهت صحت فرایند انتخاب اپی توپ ها، نتایج آنها با یکدیگر و از سوی دیگر با فاکتورهای فیزیکی شیمیایی مرتبط با مکان اپی توپ های خطی نیز به طور جداگانه مقایسه و مورد ارزیابی قرار گرفت.

پیش گویی قطعات متصل شونده به آلل های BoLA-DRB3: ژن های مجتمع اصلی سازگاری نسجی (MHC) یا BoLA (Bovine Leukocyte Antigen) کلاس در گاو، به واسطه ارتباط با پاسخ های ایمنی و مقاومت و یا حساسیت به بیماریها اهمیت ویژه ای دارند (۳۷). از این رو پیش گویی قطعات متصل شونده به آلل های BoLA می تواند نقش مهمی در بررسی ایمنی زایی و حساسیت/مقاومت به بیماریها و از سوی دیگر تهیه واکسن های مناسب داشته باشد (۲۱). جهت پیش گویی قطعات متصل شونده به BoLA-DRB3 از ابزار version 2.1 NetMHCIIpan متعلق به دانشگاه فنی دانمارک استفاده گردید. این ابزار از مدل شبکه عصبی مصنوعی استفاده کرده و اپی توپ های با ارزش بالای nMHCII50 و امتیاز مناسب مورد انتخاب قرار می گیرند (۲۵).

در ارزیابی اپی توپ ها یکی از موارد مهم، ساختار ثانویه پروتئین ها جهت بررسی محل قرارگیری اپی توپ در ساختار آنها می باشد. ساختار ثانویه پروتئین ها به دو صورت Helix-± و Sheet- و ساختارهای بینابینی این دو نظیر: turn-Coil می باشد. در این میان ساختارهای نوع و Coil به جهت احتمال وجود اپی توپ در ناحیه مربوط به آنها در پروتئین واجد اهمیت بیشتری هستند (۱۵).

آلل های BoLA-DRB3*۱۰، *۴۲، *۱۸، *۲۰، *۲، *۲۷ و تا حدودی *۲۶ با کاهش تعداد کنه در ارتباط می باشند (۲۶). همچنین Nikbakht و همکاران در سال ۲۰۱۲، در مطالعه فراوانی آلل های آگزون ۱۲ از ژن BoLA-DRB3 در گاوهای هلشتاین ایران مشاهده کردند که آلل های *۲۴، *۱۶ و *۲۳ به ترتیب فراوان ترین آلل ها در جمعیت گاوهای هلشتاین مربوط به نقاط مختلف ایران می باشند (۲۶). لذا این آلل ها به عنوان کاندید جهت پیشگویی قطعات پپتیدی متصل شونده به آلل های BoLA-DRB3 مورد بررسی قرار می گیرند.

تا به حال چندین تحقیق ایمونوفورماتیکی بر روی پروتئین های ایمونوژن انگل ها نظیر؛ پروتئین TSOL18 در کرم *Taenia solium* (۴۳)، پروتئین غشاء راسی (Apical Membrane Antigen1 (AMA-1)) در انگل *Plasmodium vivax* (۴)، پروتئین انکوسفر EG95 در سستووده های *Echinococcus granulosus* (۲۲، ۴۰) و *Echinococcus multilocularis* (۱۰) صورت گرفته است.

در این مطالعه تلاش گردیده است از روش های بیوانفورماتیکی و ایمونوفورماتیکی جهت شناسایی و آنالیز اپی توپ های آنتی ژنیک سلول B و T و همچنین ساختار پروتئین تروپومیوزین به عنوان گام نخست در سنتز واکسن پپتیدی بهره گرفته شود.

مواد و روش کار

آنالیز توالی پروتئین: از آنجایی که ایمنی زایی تروپومیوزین کنه بوافیلوس آنولاتوس بر اساس تحقیق انجام شده در بخش انگل شناسی دانشگاه تهران طی آلوده سازی تجربی گاو با کنه مشاهده شد (۲۳) و توالی پروتئینی تروپومیوزین این کنه در پایگاه های داده مرجع وجود نداشت، لذا توالی کامل پروتئین تروپومیوزین از کنه ری پی سفالوس (بوافیلوس) میکروپولوس (گونه نزدیک) (*Boophilus microplus*) به طول ۲۸۴ اسید آمینه با شماره دسترسی O97162، به همراه توالی تروپومیوزین سایر کنه ها، جرب ها، کرم ها، حشرات و برخی مهره داران از پایگاه داده مرجع UniProtKB/Swiss-prot (<http://www.expasy.org/uniprot>) گرفته و ذخیره گردید. سپس با برنامه CLC Protein Workbench 6.6.2 و سرور آنالیز T-coffee همردیفی توالی تروپومیوزین کنه بوافیلوس میکروپولوس با سایر توالی ها انجام شده و میزان حفاظت شدگی و همولوژی بین توالی ها مورد ارزیابی قرار گرفت.

آنالیز آنتی ژنسیتی: منحنی آنتی ژنسیتی پروتئین تروپومیوزین با



جدول ۱. نتایج پیشگویی فراوانی ساختار ثانویه پروتئین با سرور PSIPRED V3.0 و Scratch. (a) نتایج حاصل از سرور PSIPRED، (b) نتایج حاصل از سرور Scratch، (c) پیشگویی ساختار ثانویه (H=helix, C=coil).

(a) (*)	پیشگویی ساختار ثانویه	<pre> C#####CC##### ##### HHHCCCCCH#####CC##### ##### #####HCCC </pre>
(b) (*)	پیشگویی ساختار ثانویه	<pre> C#####CC##### ##### HHHHCCCCCHHHHCC#####CCCEEEH #####CCCCCCCC##### #####HCCC </pre>

جدول ۲. نتایج پیشگویی اپی توپ‌های سلول B.

شماره	توالی اپی توپ‌ها منتخب	پایگاه پردازش
۱	AA ^{۱۸-۲۹}	BepiPred
۲	AA ^{۳۷-۴۲}	BepiPred
۳	AA ^{۵۵-۶۰}	BepiPred
۴	AA ^{۶۲-۸۰}	BepiPred
۵	AA ^{۱۱۴-۱۲۳}	BepiPred
۶	AA ^{۱۵۵-۱۶۱}	BepiPred
۶	AA ^{۱۷۹-۱۸۶}	BepiPred
۷	AA ^{۲۱۲-۲۲۰}	BepiPred
۱	AA ^{۱۳۲-۱۳۸}	ABCpred
۲	AA ^{۲۵۸-۲۷۲}	ABCpred
۳	AA ^{۱۴۹-۱۶۵}	ABCpred
۴	AA ^{۱۲۳-۱۳۹}	ABCpred
۵	AA ^{۶-۲۲}	ABCpred
۶	AA ^{۱۱۷-۱۳۲}	ABCpred
۷	AA ^{۱۶۹-۱۸۵}	ABCpred
۱	AA ^{..۸}	Scratch
۲	AA ^{۱۳۳-۱۳۹}	Scratch
۳	AA ^{۲۰۵-۲۱۲}	Scratch
۴	AA ^{۱۸۳-۱۹۱}	Scratch
۵	AA ^{۱۳۵-۱۴۲}	Scratch

نتایج آنالیز آنتی ژنسیستی با روش **Tongaonkar** و **Kolaskar**: در تصویر ۲ منحنی پیشگویی آنتی ژنسیستی پروتئین تروپومیوزین نشان داده شده است. محور x (x-axis) تعداد آمینواسید توالی را نشان می‌دهد و محور y میانگین تمایل ذاتی آنتی ژن بودن را نمایش می‌دهد. میانگین تمایل ذاتی این پروتئین برای آنتی ژنسیستی ۰/۹۹۸ است. ۸ شاخص آنتی ژنیک قابل ذکر با تمایل ذاتی متفاوت آنتی ژن بودن در توالی دیده می‌شود. بالاترین قله به ترتیب در محدوده اسید آمینه شماره ۲۰۲ تا ۲۱۵، ۵۵ تا ۷۲ و ۲۴۰ تا ۲۶۰ است. بالاترین قله‌های توالی نشان دهنده محل‌های با احتمال بالای اتصال آنتی بادی بوده و محل‌های پر اهمیت می‌باشند (تصویر ۲).

پیشگویی فراوانی ساختار ثانویه پروتئین و دومن‌ها: پیشگویی دومین‌های پروتئین (با سرور scratch)، نشان داد که این پروتئین از دو دومن الفاهلیکس (α -Helix) در ارتباط با یکدیگر تشکیل شده است. دومین اول و دوم به ترتیب از اسید آمینه شماره ۱ تا ۱۹۳ و ۱۹۴ تا ۲۸۴ امتداد

فراوانی ساختارهای ثانویه پروتئین: فراوانی پرو فایل ل-Helix و Sheet- با استفاده از الگوریتم Chou-Fasman و با استفاده از ابزارهای سرورهای IEDB و ProtScale انجام شد. این الگوریتم چندین فاکتور را در ساختار توالی آمینواسیدی و فضایی پروتئین مورد بررسی قرار می‌دهد. (۵).

نتایج

نتایج آنالیز همردیفی توالی پروتئین: همانطور که در تصویر ۱ قابل مشاهده است، قسمتی از همردیفی توالی تروپومیوزین در چهار سطح مجزا شامل: کنه‌ها (۰)، جرب‌ها (۱)، کرم‌ها (۲) و در نهایت حشرات (۳) طبقه‌بندی شده است. ارزیابی کلی همردیفی توالی پروتئین تروپومیوزین حاکی از حفاظت شدگی این پروتئین بوده و از سوی دیگر توالی تروپومیوزین در کنه‌ها و جرب‌ها تشابه بیشتری به یکدیگر نسبت به کرم‌ها و حشرات دارند.



جدول ۳. اپی توپ‌های پیش‌گویی شده سلول B با سرور.

روش مورد استفاده	نواحی شناخته شده بر اساس هر فاکتور فیزیکی شیمیایی به طور مجزا به عنوان شاخص آنتی ژنیک
هیدروفیلیسیته	<u>1</u> MEAIKKKMQAMKLEKDNVDR AETAEQSREAALRAEKAEFEVRS LQKKIQIENELDQVQEQLSQANSKLEEKDKALQAAEA EVAAHNRRIQLLEEDLERSEERLKIATQKLEEAQAADSESRMRKMLEHRSITDEERMDGLEGLKEARTMAEDADRKYDEVARKLAMVEADLERAEERAETGETKIVELEELRVVGNLKSLEVSEEKALQKEETYEMQIRQMTNRLQEAEARAEFAERSVQKLQKEVDRLDELVQEKEKYKAISDELDTFSELTGY ²⁸⁴
انعطاف پذیری	<u>1</u> MEAIKKKMQAMKLEKDNVDR AETAEQSREAALRAEKAEFEVRS LQKKIQIENELDQVQEQLSQANSKLEEKDKALQAAEA EVAAHNRRIQLLEEDLERSEERLKIATQKLEEAQAADSESRMRKMLEHRSITDEERMDGLEGLKEARTMAEDADRKYDEVARKLAMVEADLERAEERAETGETKIVELEELRVVGNLKSLEVSEEKALQKEETYEMQIRQMTNRLQEAEARAEFAERSVQKLQKEVDRLDELVQEKEKYKAISDELDTFSELTGY ²⁸⁴
دسترسی	<u>1</u> MEAIKKKMQAMKLEKDNVDR AETAEQSREAALRAEKAEFEVRS LQKKIQIENELDQVQEQLSQANSKLEEKDKALQAAEA EVAAHNRRIQLLEEDLERSEERLKIATQKLEEAQAADSESRMRKMLEHRSITDEERMDGLEGLKEARTMAEDADRKYDEVARKLAMVEADLERAEERAETGETKIVELEELRVVGNLKSLEVSEEKALQKEETYEMQIRQMTNRLQEAEARAEFAERSVQKLQKEVDRLDELVQEKEKYKAISDELDTFSELTGY ²⁸⁴
سطح در معرض	<u>1</u> MEAIKKKMQAMKLEKDNVDR AETAEQSREAALRAEKAEFEVRS LQKKIQIENELDQVQEQLSQANSKLEEKDKALQAAEA EVAAHNRRIQLLEEDLERSEERLKIATQKLEEAQAADSESRMRKMLEHRSITDEERMDGLEGLKEARTMAEDADRKYDEVARKLAMVEADLERAEERAETGETKIVELEELRVVGNLKSLEVSEEKALQKEETYEMQIRQMTNRLQEAEARAEFAERSVQKLQKEVDRLDELVQEKEKYKAISDELDTFSELTGY ²⁸⁴

جدول ۴. پیش‌گویی پپتیدهای متصل شونده به آل‌های BoLA-DRB3.

آلل	کلاس MHC	سلول هدف	نوع شاخص (اپی توپ)	مکان پپتید	توالی پپتید (اپی توپ‌های منتخب پیش‌گویی شده)
BoLA-DRB3.2*2	Class II	T CD4 ⁺	خطی	192-207, 218-233	LEEELRVVGNLKSLE, ETYEMQIRQMTNRLQ
*20	Class II	T CD4 ⁺	خطی	193-207, 221-236	EEELRVVGNLKSLE, EMQIRQMTNRLQEA
*27	Class II	T CD4 ⁺	خطی	خطی 192-207	LEEELRVVGNLKSLE

می‌باشند (تصویر ۴-الف و ب، جدول ۳).

همچنین یکی دیگر از فاکتورهای مورد نظر در این تحقیق بررسی پرو فایل سطح دسترسی به محیط اطراف و انعطاف پذیری اسید آمینه‌ها در نواحی مختلف پروتئین بوده است (تصویر ۵-الف و ب، جدول ۳). از میان قطعات اپی توپی معرفی شده توسط برنامه NetMHCIIpan version 2.1 متعلق به دانشگاه فنی دانمارک برای آل‌های مقاومت به بوافیلوس و آل‌های با فراوانی بالا در جمعیت گاوهای هلشتاین ایران، در نهایت ۵ قطعه پپتید با طول ۱۵ اسید آمینه انتخاب گردید. این قطعات واجد بالاترین امتیاز از جهت احتمال عرضه توسط BoLA-DRB3 بوده‌اند. محدوده اتصال قوی پپتیدها در ابزار، با پیش فرض ۵۰/۰۰۰ تعیین شده و امتیاز قابل قبول در این مطالعه برای پپتیدهای با اتصال قوی، ۰/۵۰۰ در نظر گرفته شد. نواحی اطرافی پرننگ تر از ناحیه مرکزی اپی توپ‌ها جهت تمایز دو ناحیه است. سه آل ۱۰*، ۲۶*، ۴۲* و همچنین ۲۴*، ۱۶* و ۲۳* قطعه پپتیدی متصل شونده با امتیاز بالا برایشان وجود نداشته است (جدول ۴).

بحث

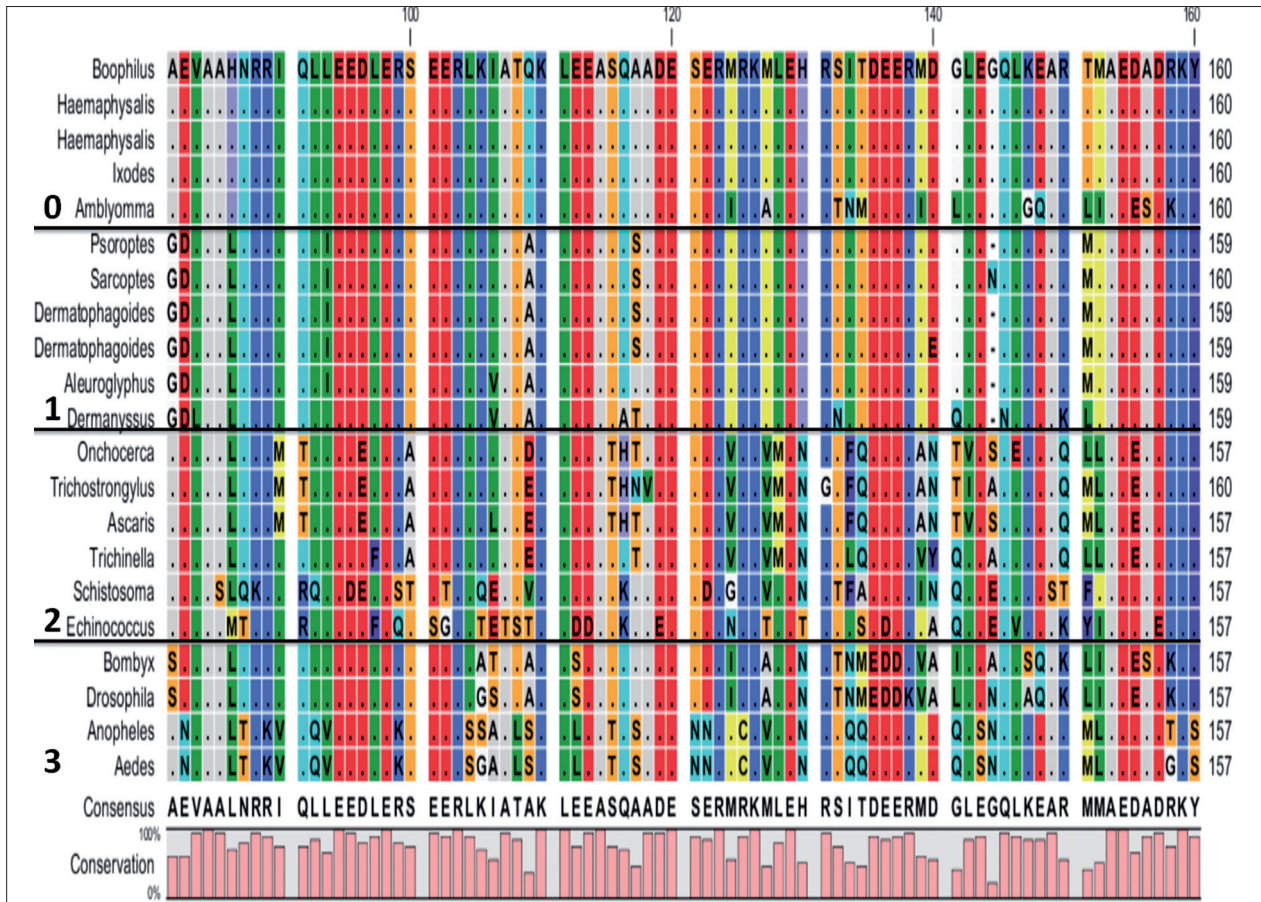
کنه‌ها، انگل‌های خارجی خونخوار انسان، حیوانات اهلی و وحشی می‌باشند که علاوه بر ایجاد خسارات مستقیم از جمله کاهش وزن، کم خونی، مسمومیت و فلجی، در دام‌های مختلف، قادر به انتقال اجرام

یافته‌اند. نتایج پیش‌گویی ساختار ثانویه پروتئین نشان داد که دو کنفورماسیون Helix و Coil در ساختار پروتئین وجود دارد. با اینکه تفاوت‌هایی در نواحی Helix (H) و Coil (C) میان نتایج سرور V3.0 PSIPRED و Scratch وجود دارد اما، شباهت‌های کلی در نتایج دیده می‌شود که در ارزیابی کلی مدنظر قرار خواهد گرفت. نواحی واجد ساختار Coil (β -Turn) از مناطق غنی از احتمال حضور اپی توپ می‌باشند. جهت تفسیر از نتایج جدول و تصاویر به طور یکپارچه استفاده شده تا بهترین نتایج به دست آید (جدول ۱) (تصویر ۳-الف و ب).

پیش‌گویی اپی توپ سلول B: پیش‌گویی اپی توپ‌های سلول B با سرورهای مختلف که از الگوریتم‌های متفاوت پیش‌گویی کننده استفاده می‌کنند در جدول آورده شده است. این نواحی پیش‌گویی شده واجد بالاترین امتیاز از نظر احتمال وجود اپی توپ بوده‌اند. توجه به این نکته لازم است که چینش نتایج سرورها در برخی از موارد بر اساس امتیاز صعودی به نزولی اپی توپ‌های پیش‌بینی شده، بوده است. علت تفاوت در طول اپی توپ به سبب محدودیت کاربر در انتخاب طول مورد نظر بوده و ابزارها به طور خودکار اقدام به انتخاب می‌کردند. (جدول ۲).

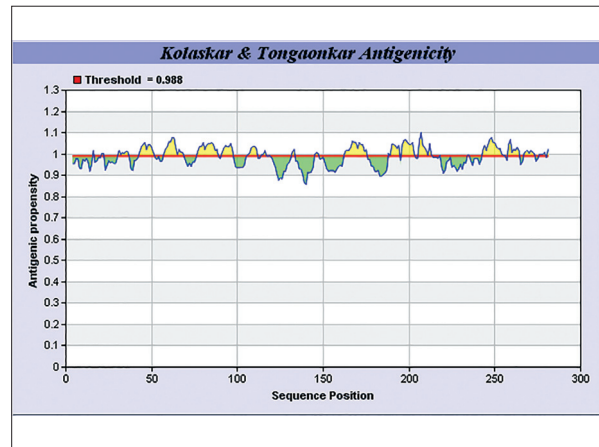
فاکتورهای فیزیکی شیمیایی مرتبط با مکان اپی توپ‌های خطی: پرو فایل هیدروپاتی (هیدروفیلیسیته و هیدروفوبی) یکی از مهمترین فاکتورهای در ارزیابی احتمال وجود مکان اپی توپ‌ها می‌باشد. مناطق با هیدروفیلیسیته بالا مناطق مستعد از نظر احتمال وجود اپی توپ





تصویر ۱. نتیجه هم‌ردیفی پروتئین تروپومیوزین. در این تصویر هم‌ردیفی بخشی از توالی تروپومیوزین کنه *Boophilus microplus* در مقایسه با توالی تروپومیوزین مربوط به سایر کنه‌ها، جرب‌ها، کرم‌ها و برخی حشرات به تصویر کشیده شده است. در پایین تصویر هم‌ردیفی، ابتدا توالی مورد توافق (Consensus) و سپس میزان حفاظت شدگی (Conservation) در میان توالی‌ها نشان داده شده است.

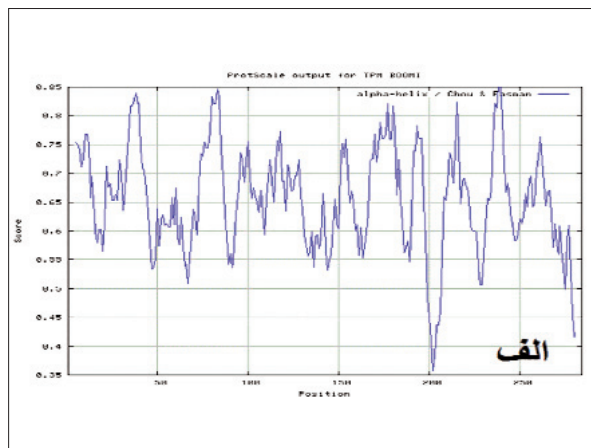
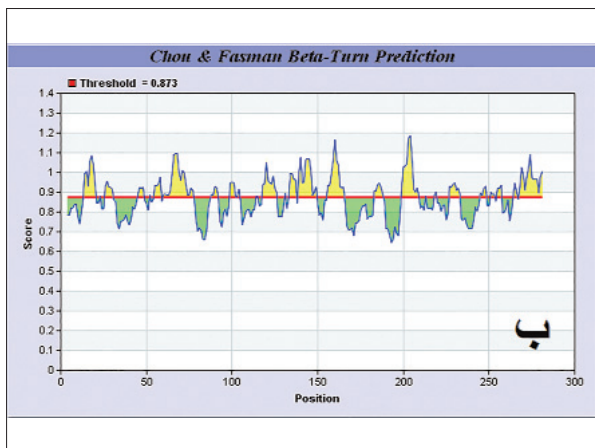
مقاومت و باقیمانده‌های سموم، توجه خاصی به واکنش‌های دام‌ها علیه کنه‌ها معطوف گردیده است. بی‌شک تهیه یک واکسن مناسب در گرو انتخاب پروتئین مناسب و کارآمی باشد که بتواند به قدر کافی سیستم ایمنی را علیه آلودگی کنه‌ای تحریک نماید (۳۹). ژنوم کنه بو‌فیلوس جزء نخستین ژنوم‌های کنه‌ای بوده که توالی‌یابی شده و با تکنولوژی‌های نوین تهیه واکسن مورد پایش قرار گرفته است (۳). همچنین پروتئین‌های کنه بو‌فیلوس جهت مصارف مختلف نظیر اهداف ساخت دارو (۱۸) و واکسن مورد توجه تحقیقات بیوانفورماتیک و ایمونو انفورماتیک قرار گرفته‌اند که از آن جمله می‌توان به پروتئین‌های روده‌ای کنه اشاره کرد (۲). Nabian و همکاران در سال ۲۰۱۲ با استفاده از روش‌های الکترو فورزیک و دو بعدی اقدام به شناسایی پروتئین‌های نوزاد کنه بو‌فیلوس آنولاتوس نمودند. آنها بر اساس روش اسپکترومتری جرمی و بر مبنای داده‌های موجود در NCBI و استفاده از نرم افزار Mascot، حضور پروتئین ایمونوژن تروپومیوزین با وزن مولکولی ۳۷kDa را نشان داده و ترادف اسید آمینه‌ای آن را مشخص نمودند (۲۳). با توجه به وجود منابع فراوانی در ارتباط با انتخاب بالقوه این پروتئین به عنوان



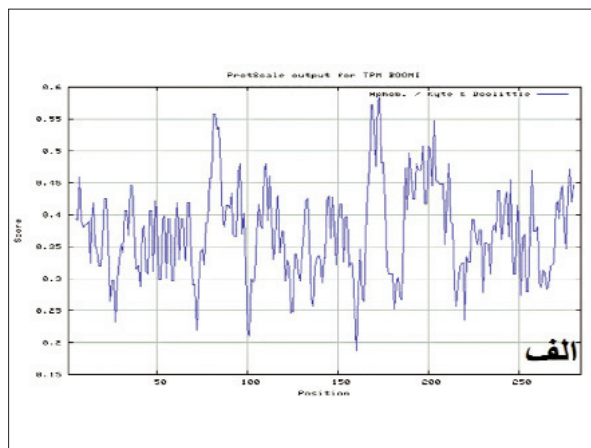
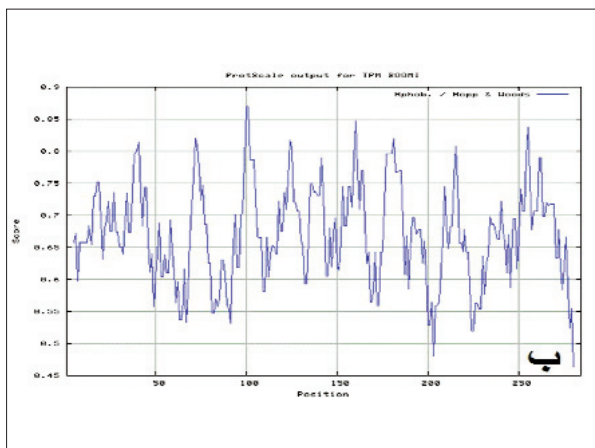
تصویر ۲. منحنی پیشگویی آنتی ژنسیتی پروتئین تروپومیوزین با الگوریتم Kolaskar-Tongaonkar نقاط با تمایل ذاتی بالای ۱، را می‌توان مناطق آنتی ژنیک در نظر گرفت. حداکثر و حداقل آنتی ژنسیتی ۱/۰۹۸ و ۰/۸۵۸ است. مناطق با آنتی ژنسیتی قابل قبول به طور تقریبی از اسید آمینه شماره ۴۰ تا ۹۵، ۱۶۰ تا ۲۱۵ و ۲۴۰ تا ۲۸۰ می‌باشد.

بیماری‌زای ویروسی، ریکتزایی و انگلی به موجودات مختلف می‌باشند. امروزه با توجه به نقاط ضعف مصرف مواد شیمیایی، از جمله ایجاد

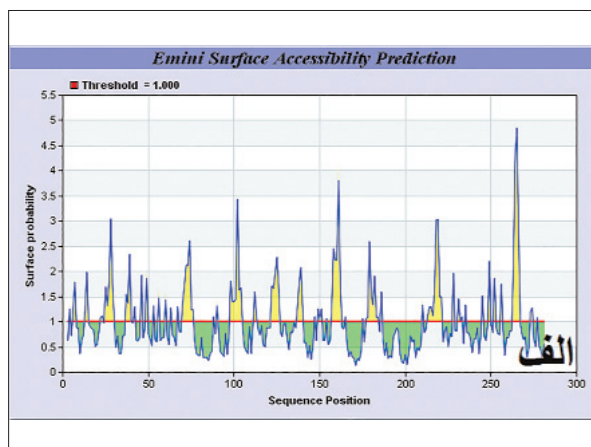
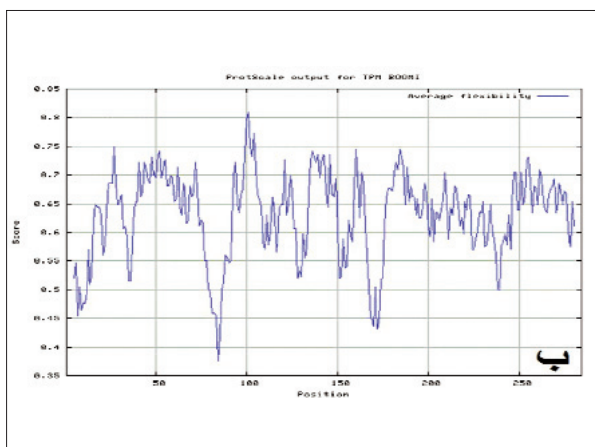




تصویر ۳- منحنی پیشگویی فراوانی ساختار ثانویه β turn و α helix در پروتئین تروپومیوزین کنه بوفیلوس با استفاده از الگوریتم های Chou و Fasman منحنی الف. حد مورد نظر جهت احتمال ساختار α helix ± 0.872 می باشد و مناطق بالای این حد ساختار α helix می باشند و سایر مناطق β turn به حساب می آیند. اندازه پنجره انتخابی ۹ بوده است. منحنی ب. نواحی بالاتر از میانگین $0.873/0$ را می توان به عنوان نواحی با احتمال زیاد β turn به حساب آورد.



تصویر ۴- منحنی پروفایل هیدروفوبیک و هیدروفیلیک به ترتیب با الگوریتم های Keyte و Doolittle (الف) و Hopp و Woods (ب) برای تروپومیوزین کنه بوفیلوس. پنجره انتخابی ۹ بوده است. منحنی الف. نواحی چاله ای نشان دهنده مناطق هیدروفیلیک بوده و نواحی شاخص آنتی ژنیک به حساب می آیند که حدود ۹ ناحیه قابل قبول می باشد. منحنی ب. قله نواحی هیدروفوب بوده و به عنوان مناطق غیر آنتی ژنیک به حساب می آیند که حدود ۹ ناحیه قابل قبول است. عموماً نواحی هیدروفیلیک در مجاورت هیدروفیلیک هستند.



تصویر ۵- منحنی پیشگویی دسترسی سطحی با استفاده از الگوریتم Emini (الف) و انعطاف پذیری قسمت های مختلف پروتئین با الگوریتم Karplus و Schulz (ب). منحنی الف. محدوده مورد قبول که بالاتر از آن به عنوان سطح در دسترس می باشد، ۱ می باشد. اندازه پنجره ۶ می باشد. منحنی ب. حداکثر و حداقل انعطاف پذیری به ترتیب $0.81/0$ و $0.375/0$ می باشد. محدوده قابل قبول برای انعطاف پذیری $0.65/0$ در نظر گرفته شده است.



انتخاب واکسن در بی مهره گان مختلف (۱۹،۲۹) و عدم نیاز به توالی کامل پروتئین جهت تحریک کارای سیستم ایمنی، انتخاب اپی توپ‌های مناسب سبب تمرکز و پاسخ بهتر و کارا تر سیستم ایمنی گردیده و از پاسخ‌های آلرژیک و نامطلوب آن می‌کاهد و از سویی دیگر در صورت مطالعات بیشتر، تهیه واکسن مناسب و بی خطری را جهت مقابله با انگل مقدور می‌نماید (۸). لذا در بررسی حاضر با استفاده از روش‌های بیوانفورماتیکی، اقدام به تجزیه و تحلیل اپی توپ‌های این پروتئین در جهت تهیه واکسنی پپتیدی گردیده است.

نتایج آنالیز توالی، بلاست و هم‌ردیفی حاکی از حفاظت شدگی و هومولوژی نسبتاً زیاد پروتئین تروپومیوزین در میان کنه‌ای و جرب‌ها و در مکان بعدی کرم‌ها و حشرات می‌باشد که این امر در مشابَهت با مطالعات پیش در مورد این پروتئین می‌باشد (۲۸،۴۲). از سوی دیگر به سبب وجود حفاظت شدگی در گستره وسیعی از کنه‌ها و جرب‌ها، تروپومیوزین را می‌توان به عنوان یک انتخاب آنتی ژنی جهت واکسنی وسیع‌الطیف همانند پروتئین‌های میوزین و پارامیوزین مطرح کرد (۲۷،۴۲).

پیشگویی اپی توپ‌های خطی را می‌توان به سه دسته پیشگویی بر اساس خصوصیات فیزیکی‌شیمیایی، مدل مخفی مارکوف و شبکه عصبی مصنوعی تقسیم کرد (۲۱،۳۱،۳۲). در این بین دقت روش‌های هیبرید (چندگانه) بیشتر از روش‌های مبتنی بر یک روش است و نتایج بهتر پیشگویی را می‌توان از آنها انتظار داشت (۴۱). بدین منظور در بررسی حاضر از چندین رهیافت (سرورهای مختلف پیشگویی کننده، خصوصیات فیزیکی‌شیمیایی و ساختار پروتئینی) در کنار هم جهت پیشگویی اپی توپ استفاده شده است. چندین روش، بر اساس برخی خصوصیات فیزیکی‌شیمیایی پروتئین جهت پیشگویی مکان اپی توپ‌ها نظیر هیدروفیلیسیته، دسترسی پپتید، نوع ساختار پروتئین، تحرک و انعطاف پذیری، قطبیت و غیره معرفی شده است. الگوریتم‌های متنوع مورد استفاده جهت پیشگویی اپی توپ، از ترکیبی از این خصوصیات استفاده می‌کنند، که در نهایت دقت آنها حدود ۶۰ تا ۸۰٪ است. Kolaskar و Tangaonkar در سال ۱۹۹۰ (T.K.)، مقیاسی را ارائه کردند که از ترکیبی از هیدروفوبیسیته، انعطاف پذیری و دسترسی سطحی پروتئین استفاده می‌کرد و به نام "مقیاس تمایل ذاتی آنتی ژنیک بودن" نامگذاری و به عنوان استاندارد طلایی در پیشگویی اپی توپ معرفی شده که دقت آن حدود ۷۵٪ است (۱۷). شایان ذکر است که سلول لئوسیت B اپی توپ‌های خطی و فضایی و سلول T تنها اپی توپ‌های خطی را شناسایی می‌کنند (۲۰،۳۷،۳۸). پروتئین تروپومیوزین واجد ساختار دوم پروتئین می‌باشد از این رو مراحل ارزیابی ایمونو انفورماتیکی آن تا اندازه‌ای آسان تر از پروتئین‌های واجد ساختار سوم یا چهارم می‌باشد.

چنانچه مشخص است به منظور واکنش آنتی بادی با آنتی ژن می‌بایست آنتی بادی به نواحی به خصوصی از آنتی ژن دسترسی داشته باشد. بیشترین مناطق در دسترس مولکول پروتئین، نواحی هستند که

در سطح ساختار پروتئین و در تماس با محیط آبی اطراف خود بوده و عموماً هیدروفیلیک می‌باشند (۷). ارزیابی انعطاف پذیری قطعات پپتیدی نیز به سبب نقش مهم در شکل‌گیری کمپلکس آنتی بادی-آنتی ژن و نیاز به تغییر ساختاری شاخص‌های آنتی ژنیک به منظور حصول به بهترین حالت سودمند می‌باشد (۱۴). نتایج این تحقیق نشان داد که هیدروفیلیسیته در سه منطقه از پروتئین به طور مطلوب وجود داشته و دسترسی به محیط اطرافی در دامنه‌ای وسیعی از نواحی مختلف پروتئین مشاهده و از سوی دیگر انعطاف پذیری در ساختار پروتئین نیز در حد کافی دیده می‌شود، که این نتیجه این ارزیابی‌ها در مرحله انتخاب اپی توپ مناسب اعمال شد.

بدر نظر گرفتن فاکتورهای مختلف نظیر آنتی ژنسیته، اپی توپ‌های پیشنهاد شده توسط سرورهای اختصاصی سلول B، فاکتورهای فیزیکی‌شیمیایی به طور مجزا و ساختار پروتئین در نهایت سه پپتید AA₆₂₋₈₀ (NH₂-EQLSQANSKLEEKDKALQA-COOH) (به سبب حضور در نتایج سرور BepiPred و امتیاز مناسب از نظر T.K.)، هیدروفیلیسیته، انعطاف پذیری، دسترسی و سطح در معرض) و AA₁₇₀₋₁₈₅ (NH₂-AMVEADLERAEERAETG-COOH) (به سبب حضور در نتایج سرور BepiPred و امتیاز مناسب از نظر T.K.)، هیدروفیلیسیته، انعطاف پذیری، دسترسی (دسترسی) AA₂₀₀₋₂₁₈ (NH₂-VGNLKSLEVEEKALQKEET-COOH) (به سبب حضور در نتایج سرور BepiPred و امتیاز مناسب از نظر T.K.)، هیدروفیلیسیته، انعطاف پذیری، دسترسی و سطح در معرض) به عنوان اپی توپ‌های واجد خصوصیات بهینه انتخاب شدند. همچنین در کنار تمام این فاکتور سعی شد قطعه پپتید انتخابی جهت موفقیت بیشتر در ایمن سازی تا اندازه‌ای بلند تر در نظر گرفته شود.

پیشگویی اپی توپ‌های متصل شونده به MHC کلاس ۲ و لحاظ کردن آن در سازه واکسنی در کنار اپی توپ‌های سلول B، می‌تواند کمک شایانی به تقویت هر چه بیشتر پاسخ ایمنی همورال بنماید (۲۵). در ارزیابی اپی توپ‌های قابل عرضه به سلول T، به سبب شباهت‌های قابل مشاهده قطعه پپتیدی اتصالی در آلل‌های مختلف BoLA-DRB3 از پروتئین تروپومیوزین، تکه انتخابی قطعه پپتیدی AA₁₉₂₋₂₀₇ (NH₂-LEEELRVGNNLKSLSL) تعیین شد.

در مطالعه حاضر سعی شده از ابزارهای گوناگون و خصوصیات مختلف پروتئین جهت پیشگویی اپی توپ‌ها بهره گرفته شود و حتی المقدور اپی توپ‌های مورد توافق در بیشتر ابزارها به عنوان اپی توپ برگزیده انتخاب شوند. گام بعدی جهت پیشبرد این تحقیق می‌تواند طراحی سازه پلی توپی، کنار هم قرار دادن اپی توپ‌ها در ترتیب مناسب، ساخت شیمیایی توالی آنها و در نهایت آزمون *in vivo* و *in vitro* سازه‌مورد نظر جهت ارزیابی میزان کارایی و فعالیت ایمنی‌زایشان باشد.



References

1. Aki, T., Kodama, T., Fujikawa, A., Miura, K., Shigeta, S., Wada, T., Jyo, T., Murooka, Y., Oka, S., Ono, K. (1995) Immunochemical characterization of recombinant and native tropomyosins as a new allergen from the house dust mite, *Dermatophagoides farinae*. *J Allergy Clin Immunol.* 96: 74-83.
2. Andreotti, R., Pedroso, M.S., Caetano, A.R., Martins, N.F. (2008) Comparison of predicted binders in *Rhipicephalus (Boophilus) microplus* intestine protein variants Bm86 Campo Grande strain, Bm86 and Bm95. *Rev Bras Parasitol Vet.* 17: 93-8.
3. Bellgard, M.I., Moolhuijzen, P.M., Guerrero, F., Schibeci, D., Rodriguez-Valle, M., Peterson, D.G., Dowd, S.E., Barrero, R., Hunter, A., Miller, R., Lew-Tabor, A. (2012) CattleTickBase: An integrated Internet-based bioinformatics resource for *Rhipicephalus (Boophilus) microplus*. *Int J Parasitol.* 42: 161-169.
4. Bueno, L.L., Lobo, F.P., Morais, C.G., Mouraõ, L.C., de A'vila RAM., Soares, I.S., Fontes, C.J. (2011) Identification of a highly antigenic linear B cell epitope within plasmodium vivax apical membrane antigen 1 (AMA-1). *PLoS ONE.* 6: 1-9.
5. Chou, P.Y., Fasman, G.D. (1979) Prediction of β -turns. *Biophys J.* 26: 367-384.
6. Chu, K.H., Wong, S.H., Leung, P.S.C. (2000) Tropomyosin is the major mollusk allergen: reverse transcriptase polymerase chain reaction, expression and IgE reactivity. *Mar Biotechnol.* 2: 499-509.
7. Emini, E.A., Hughes, J.V., Perlow, D.S., Boger, J. (1985) Induction of hepatitis A virus-neutralizing antibody by a virus-specific synthetic peptide. *J Virol.* 55: 836-839.
8. Flower, D.R. (2003) Towards in silico prediction of immunogenic epitopes. *Trends Immunol.* 24: 667-674.
9. Folkard, S.G., Taylor, M.J., Butcher, G.A., Bianco, A.E. (1997) Protective responses against skin-dwelling microfilariae of *Onchocerca lienalis* in severe combined immunodeficient mice. *Int Immunol.* 65: 2846-2851.
10. Gomase, V.S., Chitlange, N.R. (2012) Prediction of

تشکر و قدردانی

بدین وسیله از معاونت پژوهشی دانشگاه تهران و دانشکده دامپزشکی به سبب حمایت‌های مالی و معنویشان در انجام این طرح تشکر و قدردانی می‌گردد.

- MHC class antigen peptides from: Application of computer intelligence. *Sci Rep.* 1: 191.
11. Gross, D.M., Forsthuber T., Tary-Lehmann, M., Etling C., Ito, K., Nagy, Z.A., Field, J.A., Steere, A.C., Huber B. (1998) Identification of LFA-1 as a candidate autoantigen in treatment-resistant Lyme arthritis. *Science.* 281:703-706.
 12. Hopp, T.P., Woods, K.R. (1981) Prediction of protein antigenic determinants from amino acid sequences. *Proc Natl Acad Sci USA.* 78: 3824-8.
 13. Jenkins, R.E., Taylor, M.J., Gilvary, N.J., Bianco, A.E. (1998) Tropomyosin implicated in host protective responses to microfilariae in onchocerciasis. *Proc Natl Acad Sci USA.* 95: 7550-7555.
 14. Karplus, P.A., Schulz, G.E. (1985) Prediction of chain flexibility in proteins - A tool for the selection of peptide antigens. *Naturwissenschaften.* 72: 212-213.
 15. Kaur, H., Raghava, G.P. (2002) An evaluation of β -turn prediction methods. *Bioinformatics.* 18: 1508-1514.
 16. Kieber-Emmons, T., Luo, P., Qiu, J., Chang, TY., Insung, O., Blaszczyk- Thurin, M., Stepleski, Z. (1999) Vaccination with carbohydrate peptide mimotopes promotes anti-tumor responses. *Nat Biotechnol.* 17: 660-665.
 17. Kolaskar, A.S., Tongaonkar, P.C. (1990) A semi-empirical method for prediction of antigenic determinants on protein antigens. *FEBS Lett.* 276: 172-174.
 18. Krasky, A., Rohwer, A., Schroeder, J., Selzer, P.M. (2007) A combined bioinformatics and cheminformatics approach for the development of new antiparasitic drugs. *Genomics.* 89: 36-43.
 19. Kyte, J., Doolittle, R.F. (1982) A simple method for displaying the hydrophobic character of a protein. *J Mol Biol.* 157: 105-32.



20. Langeveld, J.P., Martinez-Torrecuadrada, J., boshuizen, R.S., Meloen, R.H., Ignacio, C.J. (2001) Characterisation of a protective linear B cell epitope against feline parvoviruses. *Vaccine*. 19: 2352-2360.
21. Larsen, P., Jens, E., Lund, O., Nielsen, M. (2006) Improved method for predicting linear B-cell epitopes. *Immunome Res*. 2: 2.
22. Lightowlers, M.W., Gauci C.G., Chow, C., Drew, D.R., Gauci, S.M., Heath, D.D., Jackson, D.C., Dadley-Moore, D.L., Read, A.J. (2003) Review. Molecular and genetic characterisation of the host-protective oncosphere antigens of taeniid cestode parasites. *Int J Parasitol*. 33: 1207-17.
23. Nabian, S., Taheri, M., Fard, R.M., Aramoon, M. (2013) Identification of Tropomyosin and Its Immunological Properties from Larvae of Cattle Tick, *Boophilus annulatus*. *Iran J Parasitol*. 8: 242-8.
24. Nardin, E., Calvo-Calle, J., Oliveira, G., Nussenzweig, R., Schneider, M., Tiercy, J., Loutan, L., Hochstrasser, D., Rose, K. (2001) A totally synthetic polyoxime malaria vaccine containing *Plasmodium falciparum* B cell and universal T cell epitopes elicits immune response in volunteers of diverse HLA types. *J Immunol*. 166: 481-489.
25. Nielsen, M., Lundegaard, C., Justesen, S., Lund, O., Buus, S. (2010) NetMHCIIpan-2.0 - Improved pan-specific HLA-DR predictions using a novel concurrent alignment and weight optimization training procedure. *Immun Res*. 6: 9.
26. Nikbakht, Gh., Ranjbar, M.M., Ghasemi, F., Asadian, F. (2012) Allelic polymorphism in exon 2 of the BoLA-DRB3 gene in Iranian Holstein cows. *Animal Production Research*. (In Persian). 1: 33- 41.
27. Nisbet, A., Huntley, J., Mackellar, A., Sparks, N., McDevitt, R. (2006) A house dust mite allergen homologue from poultry red mite *Dermanyssus gallinae* (De Geer). *Parasite Immunol*. 28: 401-405.
28. Reese, G., Ayuso, R., Lehre, S.B. (1999) Tropomyosin: An Invertebrate Pan-allergen. *Int Arch Allergy Immunol*. 119: 247-258.
29. Rosalind, E.J., Taylor, M.J., Gilvary, N.J., Bianco, A.E. (1998) Tropomyosin implicated in host protective responses to microfilariae in onchocerciasis. *Proc Natl Acad Sci USA*. 95: 7550-7555.
30. Sabhanini, L., Manocha, M., Sridevi, K., Shashikiran, D., Rayanade, R., Rao, D.N. (2003) Developing subunit immunogens using B and T cell epitopes and their constructs derived from F1 antigen of *Yersinia pestis* using novel delivery vehicles. *FEMS Immunol Med Microbiol*. 1579: 1-15.
31. Saha, S., Raghava, G.P. (2004) BcePred: Prediction of continuous B-cell epitopes in antigenic sequences using physico-chemical properties. *ICARIS, Springer, Heidelberg*. 409: 197-204.
32. Saha, S., Raghava, G.P. (2006) Prediction of continuous B-cell epitopes in an antigen using recurrent neural network. *Proteins*. 65: 40-48.
33. Schellekens, G., Visser, H., de Jong, B., van den Hoogen, F., Hazes, J., Breedveld, F., van Venrooij, W. (2000) The diagnostic properties of rheumatoid arthritis antibodies recognizing a cyclic citrullinated peptide. *Arthritis Rheumatol*. 43:155-163.
34. Seib, KL., Dougan, G., Rappuoli, R. (2009) The key role of genomics in modern vaccine and drug design for emerging infectious diseases. *PLoS Genet*. 5: 1-8.
35. Stassar, M.J., Raddrizzani, L., Hammer, J., Zöller, M. (2001) T-helper cell-response to MHC class II-binding peptides of the renal cell carcinoma-associated antigen RAGE-1. *Immunobiology*. 203: 743-55.
36. Sweredoski, M.J., Baldi, P. (2009) COBepro: a novel system for predicting continuous B-cell epitopes. *Protein Eng Des Sel*. 22:113-120.
37. Tizard, I.R. (2009) *Acquired Immunity: Antigen-Presenting Receptors*. Veterinary Immunology. (7th ed.) Saunders Company. Philadelphia, USA.
38. Van Regenmortel, M.H. (1993) Synthetic peptides versus natural antigens in immunoassaya. *Ann Biol Clin (Paris)*. 51: 39-41.
39. Wiladsen, P. (2004) A anti- tick vaccine. *Parasitology*. 129: 367-387.
40. Woollard, D.J., Gauci, C.G, Heath, D.D., Lightowlers, M.W. (2000) Protection against hydatid disease induced with the EG95 vaccine is associated with



- conformational epitopes. *Vaccine*. 19: 498-507.
41. Yang, X., Yu, X. (2009) An introduction to epitope prediction methods and software. *Rev Med Virol*. 19: 77-96.
42. Zhang, R., Jise, Q., Zheng, W., Ren, Y., Nong, X., Wu, X., Gu, X., Wang, S., Peng, X., Lai, S., Yang, G. (2012) Characterization and evaluation of a *Sarcoptes scabiei* allergen as a candidate vaccine. *Parasit Vectors*. 5: 176.
43. Zimic, M., Gutiérrez, A.H., Gilman, R.H., López, C., Quiliano, M., Evangelista, W., Gonzales, A., García, H.H., Sheen, P. (2011) Immunoinformatics prediction of linear epitopes from *Taenia solium* TSOL18. *Bioinformatics*. 6: 271-4.



Immunoinformatic survey of *Boophilus* tick tropomyosin protein

Ranjbar, M.M.¹, Nabian, S.^{2*}, Taheri, M.³, Nikbakht, Gh.R.⁴, Nikpei, A.⁵

¹Department of Immunology, Faculty of Veterinary Medicine, University of Tehran, Tehran- Iran

²Department of Parasitology and Tick and Tick Born Diseases center, Faculty of Veterinary Medicine, University of Tehran, Tehran- Iran.

³Rastegar Central Laboratory, Faculty of Veterinary Medicine, University of Tehran, Tehran- Iran.

⁴Department of Microbiology, Faculty of Veterinary Medicine, University of Tehran, Tehran- Iran

⁵Faculty of Veterinary Medicine, Amol University of Special Modern Technology, Amol-Iran

(Received 27 August 2014, Accepted 3 November 2014)

Abstract:

BACKGROUND: *Boophilus* tick is responsible for the transmission of some pathogens (types of germs) and the reduction of fertility in Cattles. Tropomyosin protein plays an important role in regulating actin function, immune and allergic reactions and vaccine production. **OBJECTIVES:** Accurate identification of antigenic determinants (epitopes) is difficult, time consuming and not economic, thus we focused on development of rapid methods such as prediction based on sequence and structure of protein. **METHODS:** A wide array of Immunoinformatics softwares and tools were used for the analysis of antigenicity, frequency in protein secondary structure and domains, physic-chemical factors related to region of linear epitopes, B cell epitopes, and binding peptide segments to MHC II alleles in cattle. **RESULTS:** Protein analysis with different algorithms and evaluated accuracy of our result with different profiles of protein results in 3 selected epitopes (AA₆₂₋₈₀(NH₂-EQLSQANSKLEEKDKALQA-COOH), AA₁₇₀₋₁₈₅(NH₂-AMVEADLERAEERAETG-COOH) and AA₂₀₀₋₂₁₈ (NH₂-VGNNLKSLEVSEEKALQKEET-COOH)) for B cell and a epitope AA₁₉₂₋₂₀₇(NH₂-LEEELRVVGNNLKSLE-COOH) for T cell. **CONCLUSIONS:** For desirable stimulation of immune system, only some segments of protein (epitopes) are enough. Selecting efficient epitopes causes concentration immune responses, preparation suitable vaccine and reduces allergic and adverse responses.

Key words: *Boophilus* tick, epitopes, immunoinformatic, tropomyosin protein

Figure Legends and Table Captions

Table 1. Frequency results of secondary structure prediction by using of PSIPRED V3.0 and Scratch servers. a Results of PSIPRED server, b Results of Scratch server, (*) Prediction of secondary structure (H=helix, C=coil).

Table 2. Prediction results of B cell epitopes.

Table 3. Predicted epitopes for B cell by using of BcePred server.

Table 4. prediction of binding peptides to BoLA-DRB3 alleles.

Figure 1. Partial alignment results in Tropomyosin protein of *Boophilus microplus* tick compared with ticks, mites, worms and insects.

Figure 2. Antigenicity prediction diagram of Tropomyosin protein, using Kolaskar-Tongaonkar algorithm. Regions with Antigenic Propensity scale upper 1, are antigenic regions.

Figure 3. Frequency diagrams of secondary structure prediction of α helix and Coil (β turn) structures in Tropomyosin of *Boophilus* tick, using Chou & Fasman algorithms.

Figure 4. Hydrophobic and Hydrophilic profile diagrams, using Keyte and Doolittle (A) and Hopp and Woods (B) algorithms for *Boophilus* tick tropomyosin, respectively.

Figure 5. Surface accessibility prediction diagram, using Emini algorithm (A) and Flexibility different regions of protein, using Karplus and Schulz algorithm (B).



*Corresponding author's email: nabian@ut.ac.ir, Tel: 021-61117072, Fax: 021-66933222

J. Vet. Res. 69, 4:335-345, 2014